

Резонансное рассеяние электронов на круглом наноотверстии в графене

Жанна Девизорова^{1,2}, И.В. Загороднев^{1,2}, В.В. Еналдиев², В.А. Волков^{2,1}

¹*Московский физико-технический институт,*

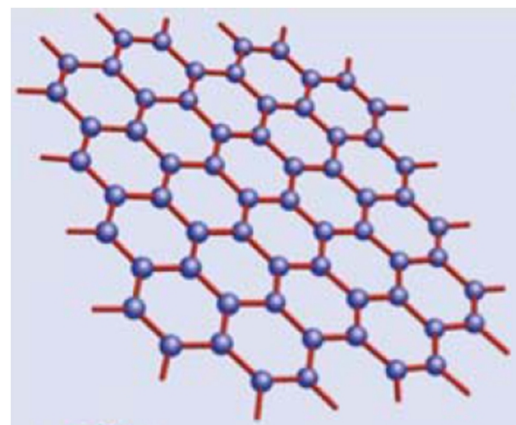
²*ИРЭ им. В.А. Котельникова РАН*

Семинар лаборатории «Квантовой теории информации»

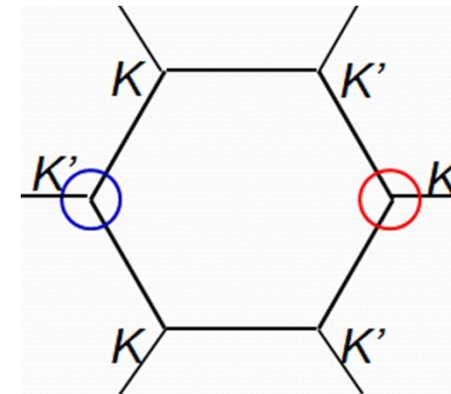
13 октября 2015

Кристаллическая и зонная структура графена

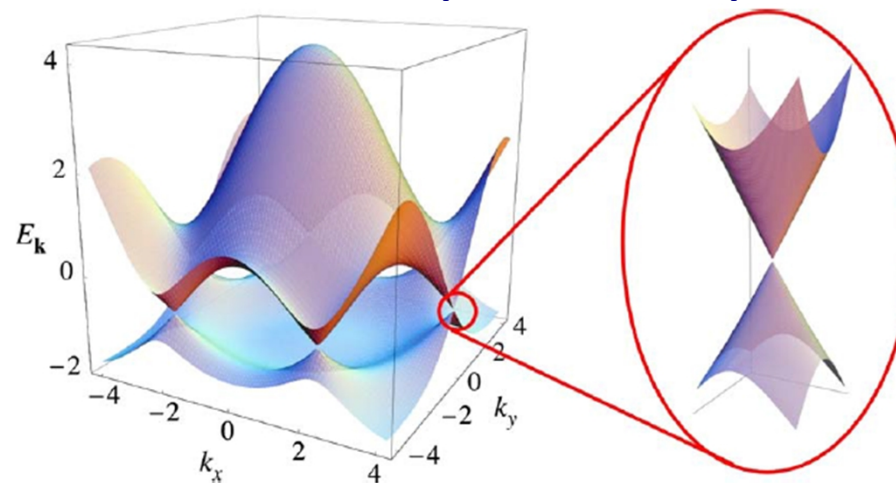
Кристаллическая решетка



Обратная решетка.
Зона Бриллюэна



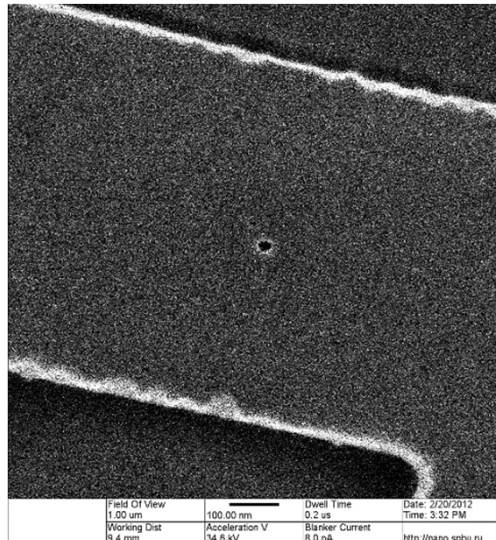
Электронный спектр



$$E = \pm v_F p,$$
$$v_F = c / 300$$

Антиточка в графене

Антиточка,
полученная с
помощью FIB



Антиточка – круглое
наноотверстие в
графене



OPEN

SUBJECT AREAS:

ELECTRONIC PROPERTIES
AND DEVICES

Transport of Massless Dirac Fermions in
Non-topological Type Edge States

Yu I. Latyshev^{1*}, A. P. Orlov¹, V. A. Volkov^{1,2}, V. V. Enaldiev¹, I. V. Zagorodnev¹, O. F. Vyvenko³,
Yu V. Petrov³ & P. Monceau^{4,5,6}

На антиточке
могут
существовать
краевые
состояния!

Осцилляции сопротивления перфорированного графена при изменении уровня Ферми

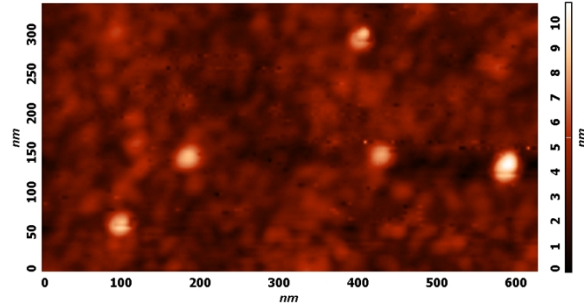


Рис. 1. АСМ изображение перфорированного графена

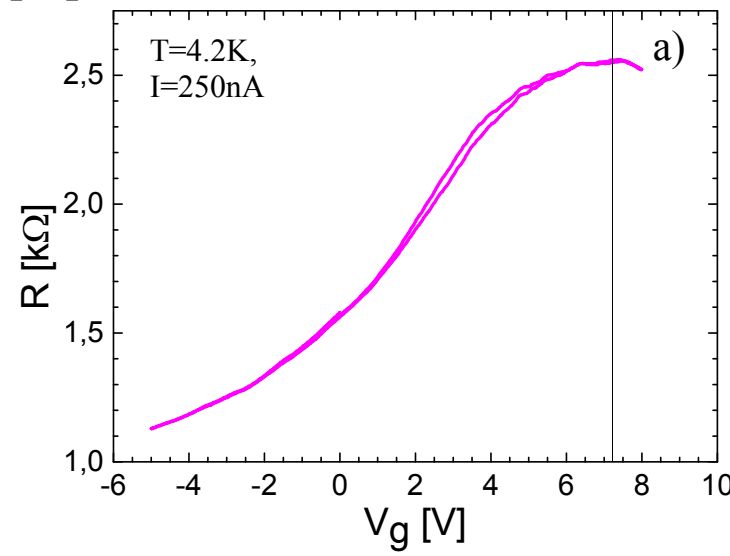
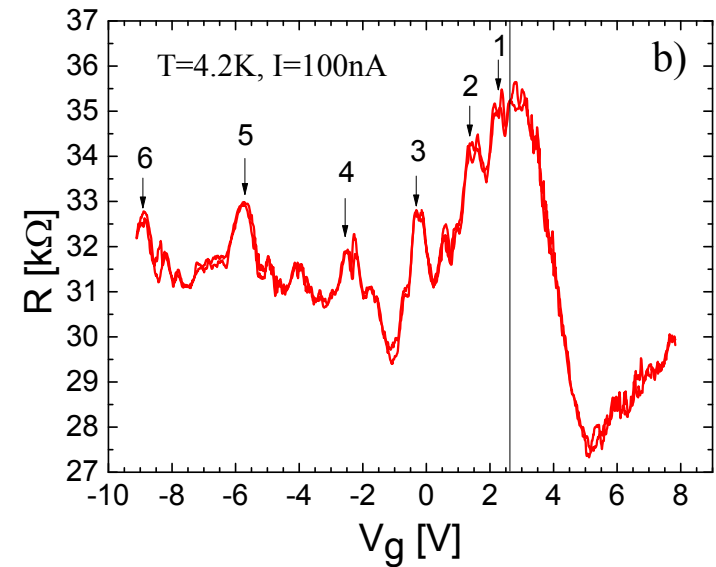


Рис. 2. Зависимость сопротивления от затворного напряжения:

- (a) - контрольный образец графена,
- (b) - графен, облученный тяжелыми ионами



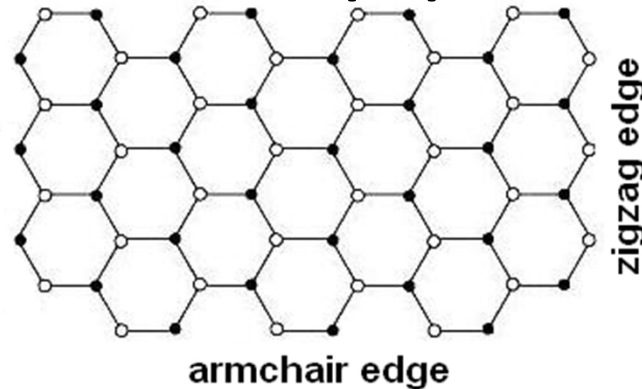
Цель: теоретически описать (или предсказать) возможные проявления краевых состояний. В данной работе - в проводимости и локальной плотности состояний.

План доклада

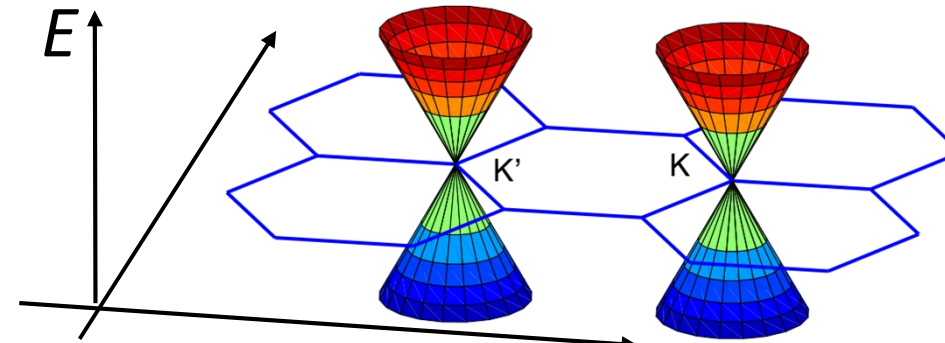
- I. Краевые (таммовские) состояния на линейном
краю графена (обзор)
- II. Краевые состояния в графеновой аниточке
- III. Амплитуда и сечение рассеяния электронов на
антиточке с краевыми состояниями, а также
локальная плотность состояний вблизи нее
(основные результаты)

Краевые состояния на линейном краю: (приближение ближайших соседей модели сильной связи)

Решетка графена

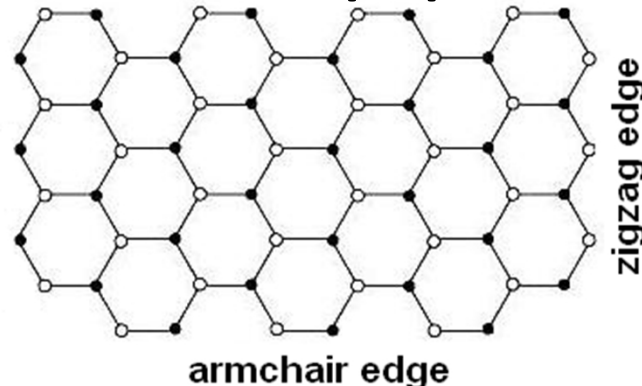


Обратная решетка и электронный спектр

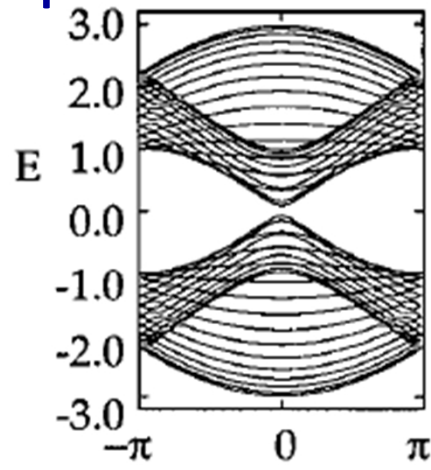


Краевые состояния на линейном краю: (приближение ближайших соседей модели сильной связи)

Решетка графена

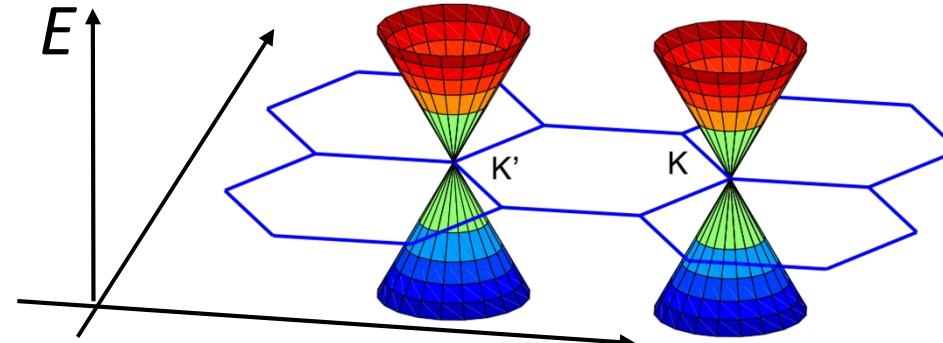


Электронный спектр полосы
с краями типа armchair



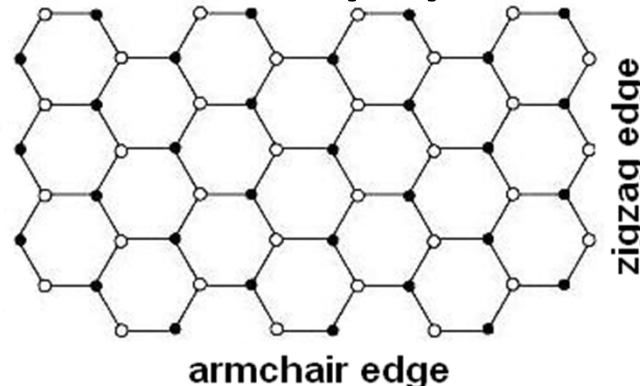
Краевые состояния
отсутствуют

Обратная решетка и электронный спектр

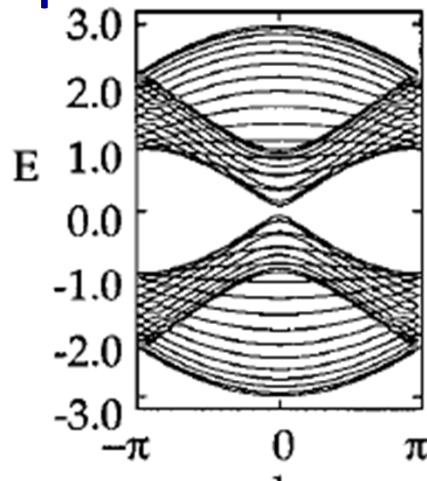


Краевые состояния на линейном краю: (приближение ближайших соседей модели сильной связи)

Решетка графена

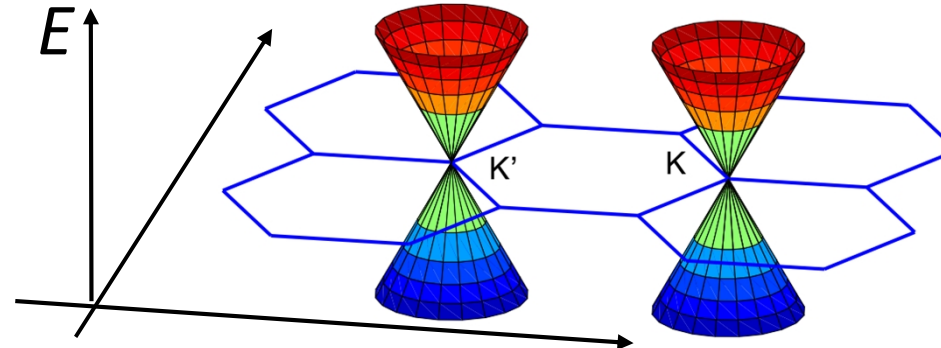


Электронный спектр полосы
с краями типа armchair

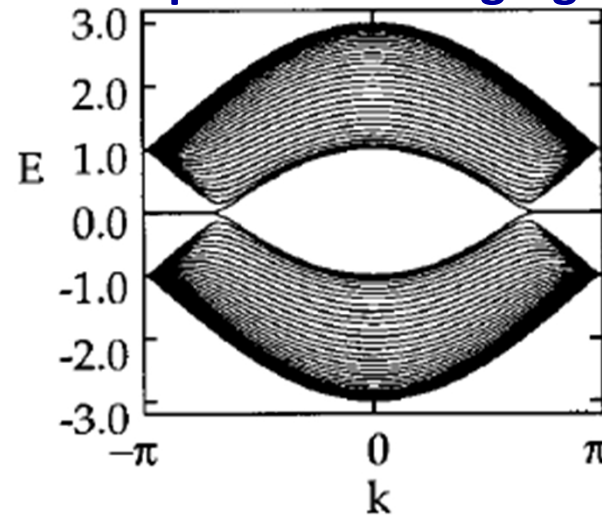


Краевые состояния
отсутствуют

Обратная решетка и электронный спектр

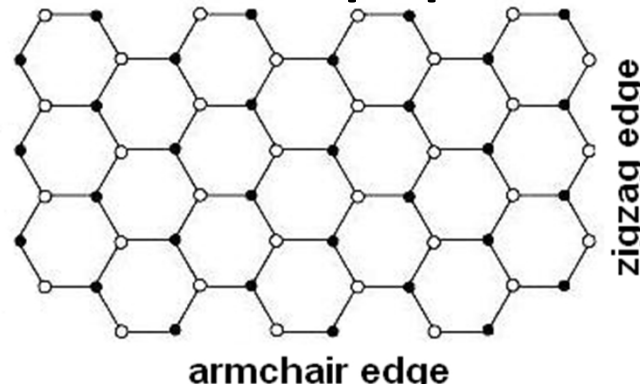


с краями типа zigzag:

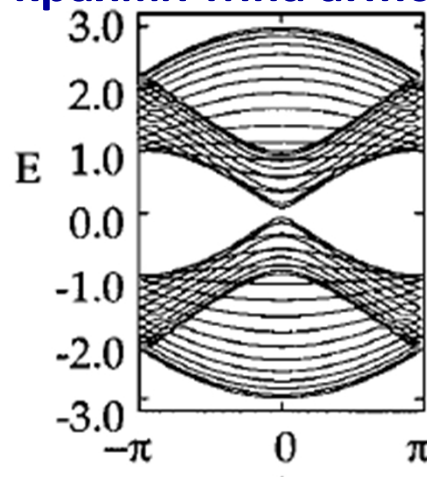


Краевые состояния на линейном краю: (приближение ближайших соседей модели сильной связи)

Решетка графена

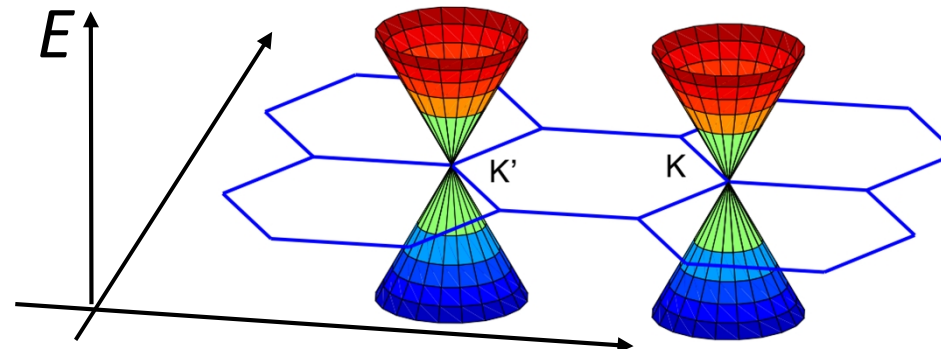


Электронный спектр полосы
с краями типа armchair

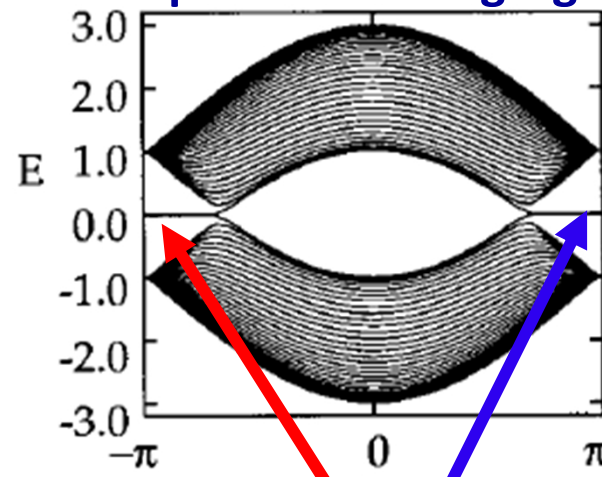


Краевые состояния
отсутствуют

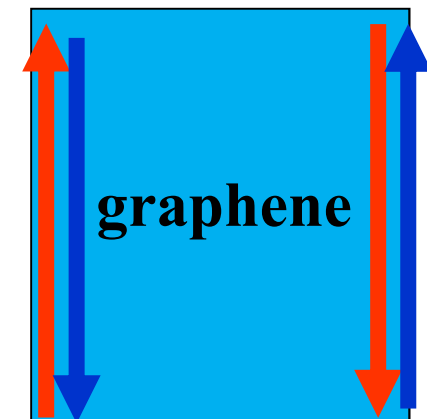
Обратная решетка и электронный спектр



с краями типа zigzag:

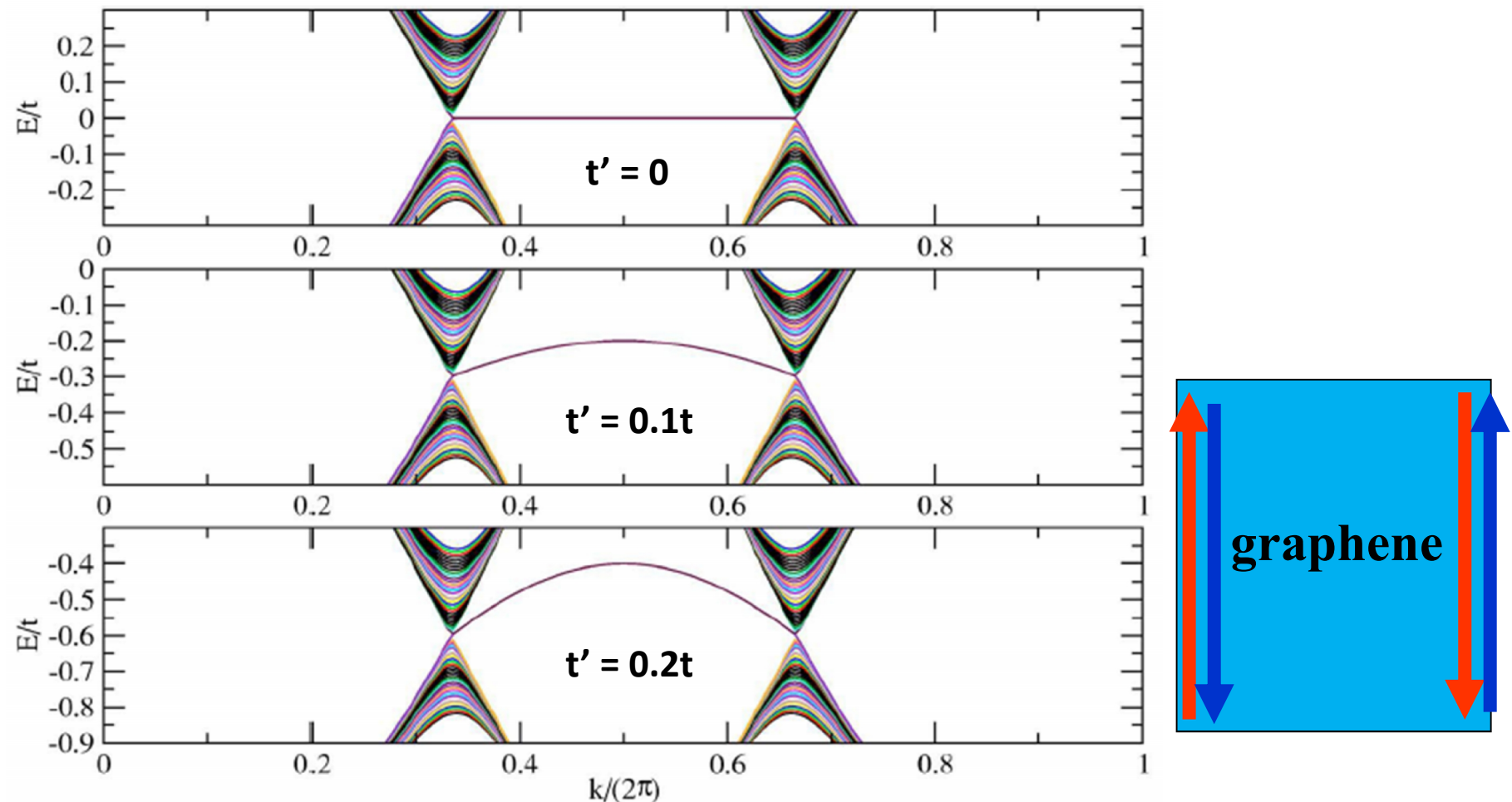


Краевые состояния есть!



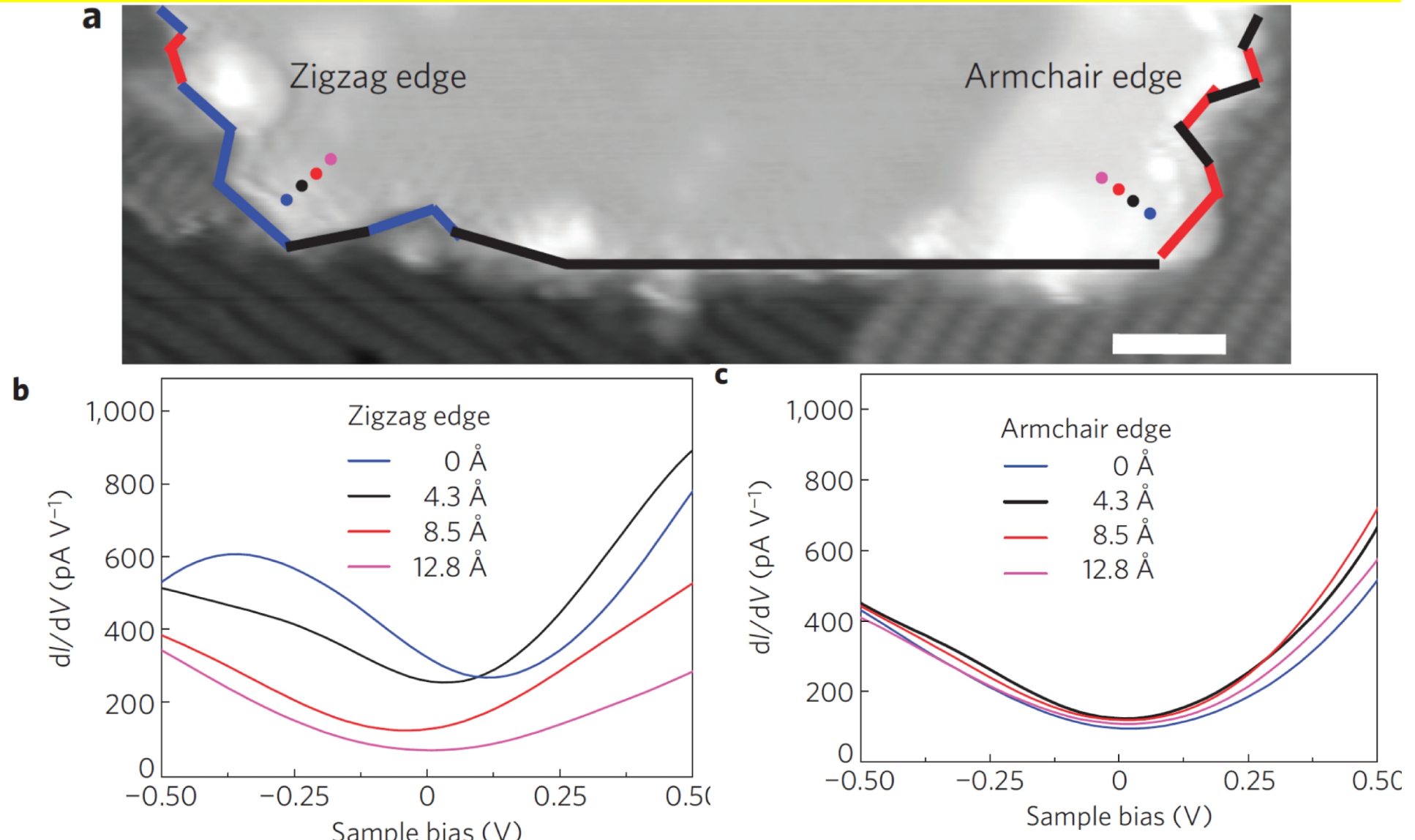
K. Nakada et al., PRB (1996)

Краевые состояния на крае типа zigzag (приближение следующих за ближайшими соседями)



N.M.R. Peres et al., PRB (2006). Электронный спектр графеновой полосы с краями типа zigzag при учете интеграла перекрытия (t') между следующими за ближайшими соседями

Локальная плотность состояний близи zigzag и armchair



K. Ritter et al., *Nature Materials* (2009)

Краевые состояния в рамках непрерывного описания

Электроны в одной из долин графена описываются уравнением типа Вейля

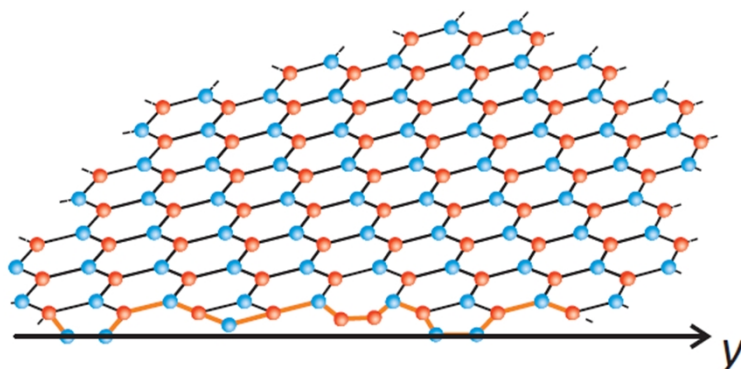
$$v_F \sigma \psi = E \psi, \quad \text{где } \psi = (\psi_1, \psi_2)^T \quad \text{двухкомпонентная волновая функция}$$

Границочное условие: $\left. (\psi_1 + iae^{-i\varphi} \psi_2) \right|_{at\ edge} = 0,$

a – действительный параметр, характеризующий структуру края

φ – угол между осью x и нормалью к границе

Линейный край (полуплоскость $x>0$)

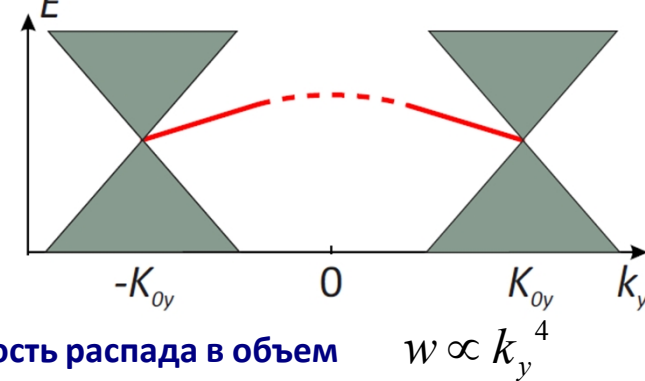


В.Волков, И.З., ФНТ 35, 5 (2009)

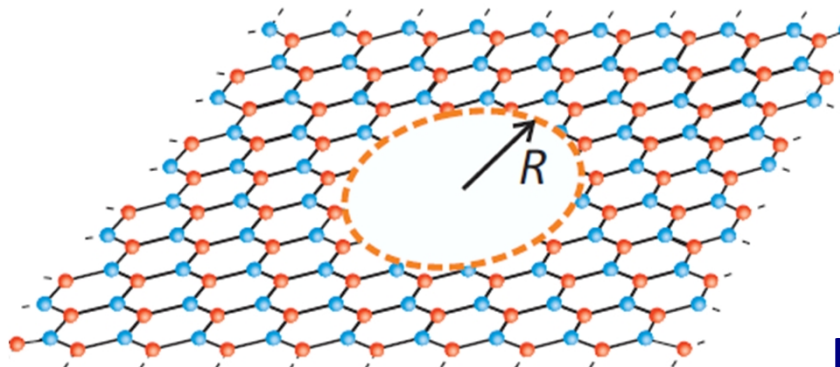
A.Akhmerov, C.Beenakker, Phys. Rev. B 77, 085423 (2008)

Спектр краевых состояний

$$E_s = s\hbar v \frac{2a}{1+a^2} k_y, \quad sk_y(1-a^2) > 0, \quad s = \pm 1$$



Краевые состояния на антиточке в графене



Полный угловой момент j сохраняется.

Уравнение Бесселя на каждую компоненту
волновой функции

$$r^2\psi_1''(r) + r\psi_1'(r) + \left[(kr)^2 - l^2\right]\psi_1 = 0,$$
$$k = -E / (\hbar v), \quad E < 0$$

Нет стационарных локализованных состояний.
Будем искать квазистационарные.

Волновая функция с заданным моментом,
отвечающая уходящей волне:

$H_l^{(2)}(x)$ – функция Ганкеля второго рода,

Дисперсионное уравнение:

$$\begin{pmatrix} \psi_1(r, \varphi) \\ \psi_2(r, \varphi) \end{pmatrix} = C \begin{pmatrix} e^{il\varphi} H_l^{(2)}(kr) \\ -ie^{i(l+1)\varphi} H_{l+1}^{(2)}(kr) \end{pmatrix},$$

l – орбитальное квантовое число

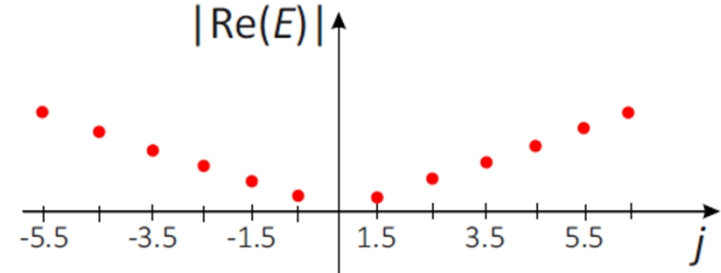
$$H_l^{(2)}(kR) = -a H_{l+1}^{(2)}(kR).$$

При $|la| \ll 1$ можно получить спектр в явном виде:

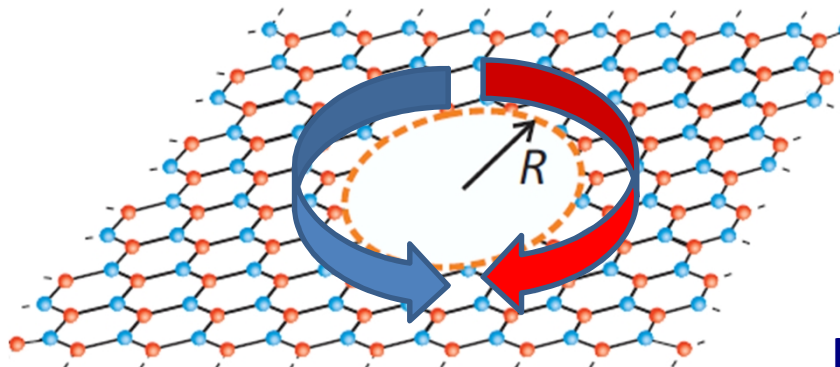
$$kR \approx -2sla + i \frac{2\pi |a| (|la|)^{2l}}{\left[(l-1)!\right]^2}, \quad sla < 0, \quad l \neq 0$$

$$a = k_0 R \ln \frac{k_0 R}{2}, \quad l = 0$$

КВАЗИСТАЦИОНАРНЫЙ СПЕКТР!



Краевые состояния на антиточке в графене



Полный угловой момент j сохраняется.

Уравнение Бесселя на каждую компоненту
волновой функции

$$r^2\psi_1''(r) + r\psi_1'(r) + \left[(kr)^2 - l^2\right]\psi_1 = 0, \\ k = -E / (\hbar v), \quad E < 0$$

Нет стационарных локализованных состояний.
Будем искать квазистационарные.

Волновая функция с заданным моментом,
отвечающая уходящей волне:

$H_l^{(2)}(x)$ – функция Ганкеля второго рода,

Дисперсионное уравнение:

$$\begin{pmatrix} \psi_1(r, \varphi) \\ \psi_2(r, \varphi) \end{pmatrix} = C \begin{pmatrix} e^{il\varphi} H_l^{(2)}(kr) \\ -ie^{i(l+1)\varphi} H_{l+1}^{(2)}(kr) \end{pmatrix},$$

l – орбитальное квантовое число

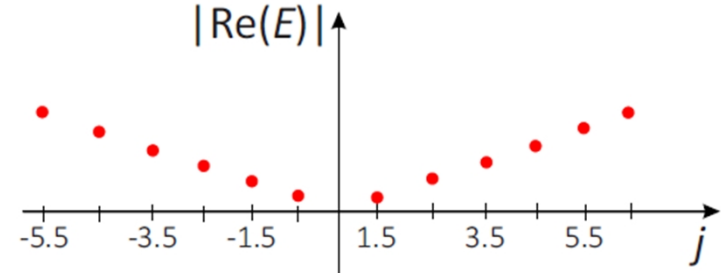
$$H_l^{(2)}(kR) = -a H_{l+1}^{(2)}(kR).$$

При $|la| \ll 1$ можно получить спектр в явном виде:

$$kR \approx -2sla + i \frac{2\pi |a| (|la|)^{2l}}{\left[(l-1)!\right]^2}, \quad sla < 0, \quad l \neq 0$$

$$a = k_0 R \ln \frac{k_0 R}{2}, \quad l = 0$$

КВАЗИСТАЦИОНАРНЫЙ СПЕКТР!



Постановка задачи рассеяния на антиточке в графене

Волновая функция представляет суперпозицию падающей и отраженных волн:

Коэффициент находим из граничного условия при постоянном граничном параметре

Амплитуда рассеяния:

$$\text{Сечение рассеяния} \quad \sigma_{tr} = \int_0^{2\pi} (1 - \cos \varphi) |f(\varphi)|^2 d\varphi = \frac{4}{k} \sum_{l=-\infty}^{\infty} (|C_l|^2 - \text{Im}(C_l C_{l+1}^*)).$$

Неоднородный граничный параметр

$$a(\varphi) = \sum a_n e^{in\varphi}$$

Уравнение на коэффициенты

$$\sum_n a_n \left[(-i)^{l-n} J_{l-n+1}(kR) + H_{l-n+1}^{(2)}(kR) C_{l-n} \right] + H_l^{(2)}(kR) C_l + (-i)^l J_l(kR) = 0, \quad \forall l.$$

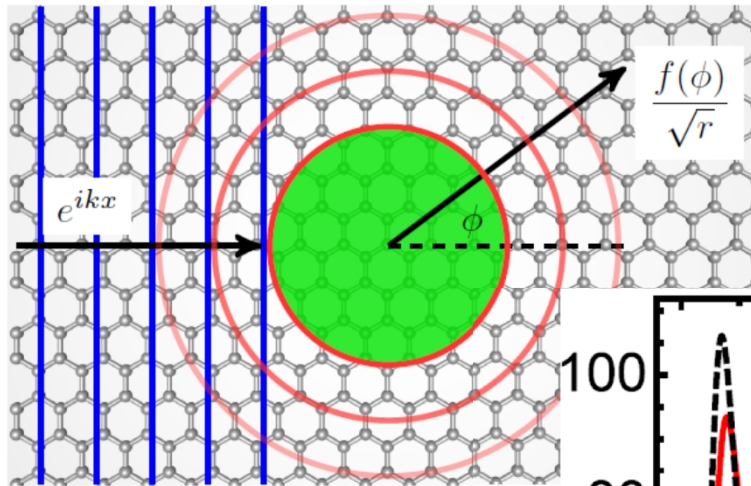
$$k = -E / (\hbar v)$$

$$\psi_{scat} = \begin{pmatrix} 1 \\ 1 \end{pmatrix} \frac{e^{-ikx}}{\sqrt{2}} + \sum_{l=-\infty}^{\infty} C_l \frac{e^{il\varphi}}{\sqrt{2}} \begin{pmatrix} H_l^{(2)}(kr) \\ -ie^{i\varphi} H_{l+1}^{(2)}(kr) \end{pmatrix}.$$

$$C_l = -(-i)^l \frac{J_l(kR) + a J_{l+1}(kR)}{H_l^{(2)}(kR) + a H_{l+1}^{(2)}(kR)}$$

$$f(\varphi) = \sqrt{\frac{2}{\pi k}} \sum_{l=-\infty}^{\infty} C_l \exp\left(i l \varphi + i \frac{l\pi}{2} + i \frac{\pi}{4}\right).$$

Рассеяние электронов на антиточке с краевыми состояниями

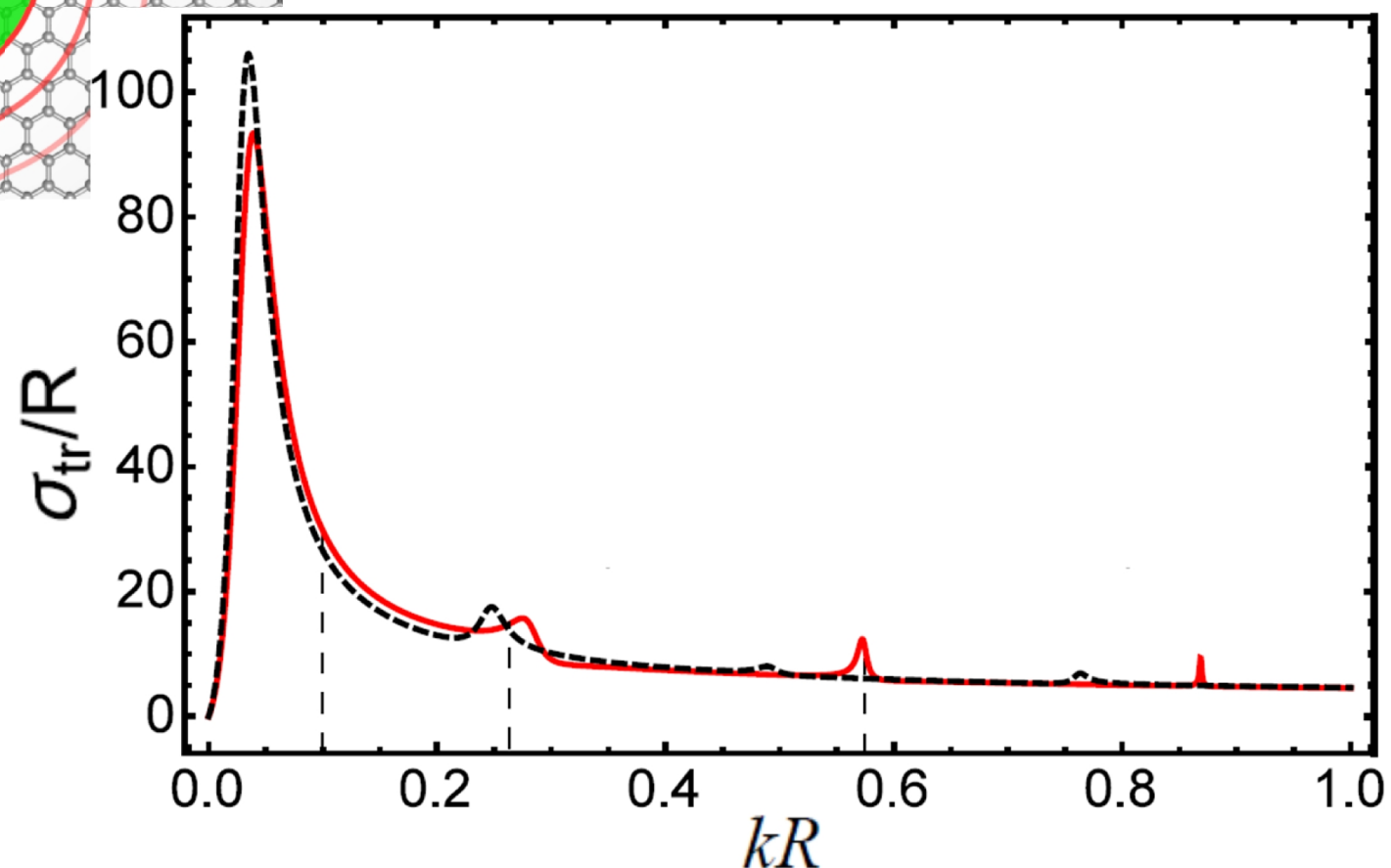


$$k = -E / (\hbar v)$$

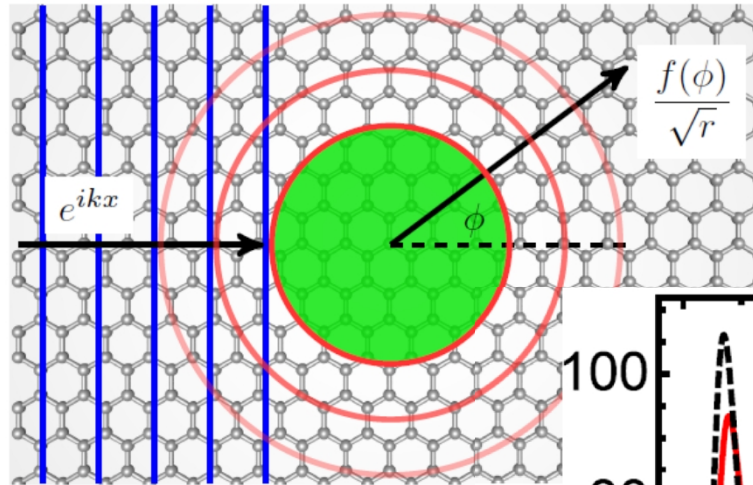
Транспортное сечение рассеяния

Красная кривая: $a = -0.15$

Черная кривая: $a(\varphi) = -0.15 \pm 0.04 \cos \varphi$



Рассеяние электронов на антиточке с краевыми состояниями



Амплитуда рассеяния в
каждой долине
асимметрична

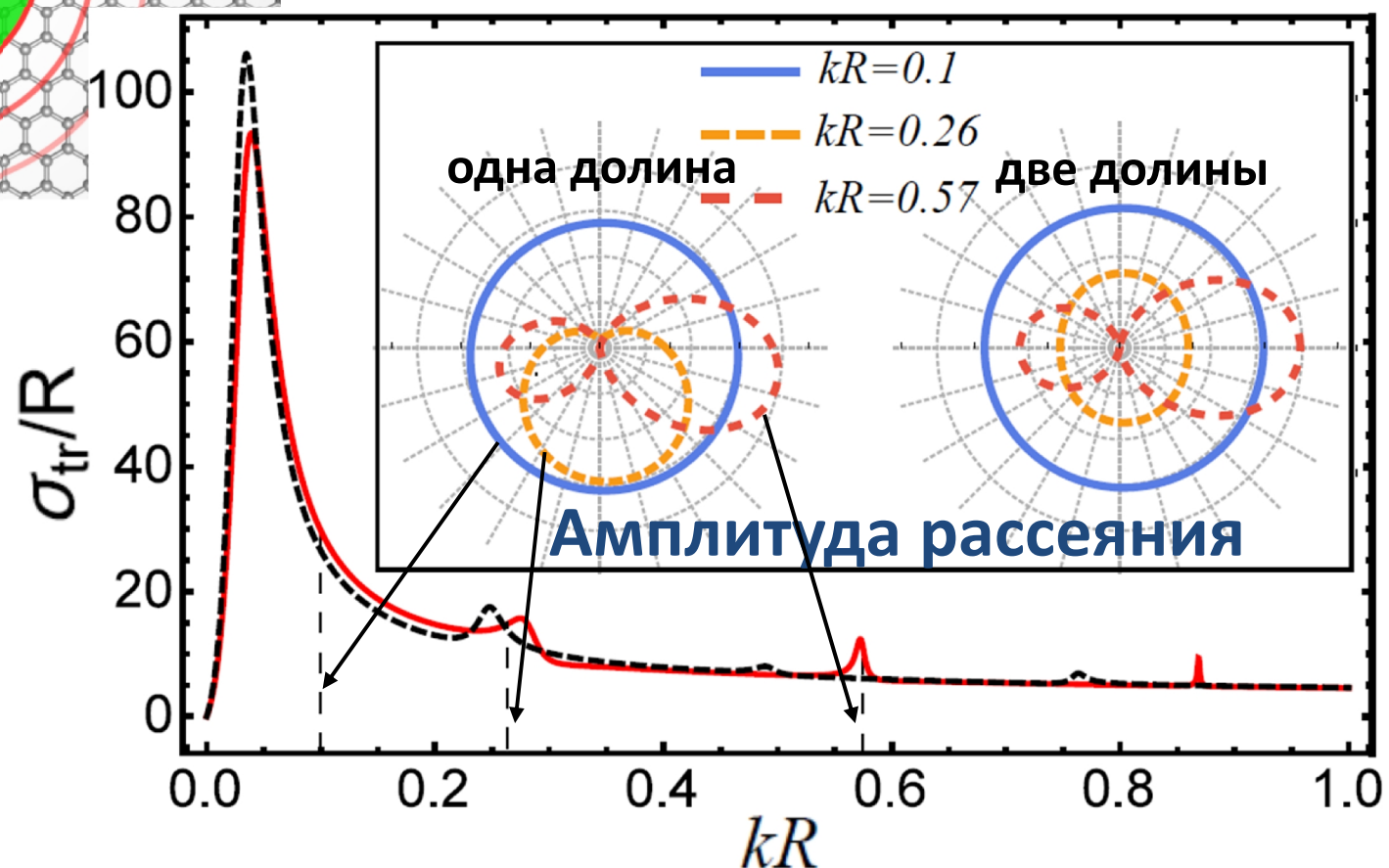
$$\begin{aligned}C_{l+1} &\neq C_{-l}, \\e^{2i\delta_j} &= 1 + 2i^l C_l, \\j &= l + 1/2, \\\delta_j &\neq \delta_{-j}, \\f(\phi) &\neq f(-\phi)\end{aligned}$$

$$k = -E / (\hbar v)$$

Транспортное сечение рассеяния

Красная кривая: $a = -0.15$

Черная кривая: $a(\phi) = -0.15 \pm 0.04 \cos \phi$



Низкоэнергетическое рассеяния

$$kR < 1$$

$kR \ll 2|a|$ **S - рассеяния**

$$C_0 \approx -(-i)^l \frac{1}{1 + i \frac{2}{\pi} \left[\frac{a}{kR} - \gamma - \ln \left(\frac{kR}{2} \right) \right]}$$

γ — **постоянная Эйлера**

$$\sigma_{tr} \approx \frac{4\pi^2 kR^2}{\pi^2 k^2 R^2 + 4 \left[kR \ln \left(\frac{kR}{2} \right) - a \right]^2}$$

Нулевой максимум

Высота пика

$$\sigma_{tr} = 4 / k_0,$$

Ширина пика

$$\Delta = \pi a / [\pi^2 + 4 \ln^2(k_0 / 2)]$$

$kR \approx 2|al_0| \ll 1$ l_0 — **ый максимум**

$$C_{l_0} \approx -\frac{1}{1 - \frac{i l_0! (l_0 - 1)!}{2\pi} \left(\frac{2}{kR} \right)^{2l_0+1} (kR + 2al_0)} \approx -1$$

Высота пика

$$\sigma_{tr} = \frac{2R}{|al_0|}$$

Много больше геометрического сечения рассеяния!

Локальная плотность состояний вблизи антиточки

$$\psi_{k,l} = A_l(k) e^{il\varphi} \begin{pmatrix} J_l(kr) + B_l(k) Y_l(kr) \\ -ie^{i\varphi} [J_{l+1}(kr) + B_l(k) Y_{l+1}(kr)] \end{pmatrix}, \quad B_l(k) = -\frac{a J_{l+1}(kR) + J_l(kR)}{Y_l(kR) + a Y_{l+1}(kR)}.$$

Условие нормировки для функций непрерывного спектра

$$\int_R^\infty \psi_{k',j'}^+(r, \varphi) \psi_{k,j}(r, \varphi) d^2 r = g \delta(k - k') \delta_{jj'}$$

$$\rho(k, r) = \frac{k}{\pi \hbar v} \sum_{l=-\infty}^{\infty} \frac{1}{1 + |B_l(k)|^2} \left[|J_l(kr) + B_l(k) Y_l(kr)|^2 + |J_{l+1}(kr) + B_l(k) Y_{l+1}(kr)|^2 \right]$$

Низкоэнергетическое приближение

$$kR \rightarrow 0 : \quad \rho_{free}(k) = 2k / (\pi \hbar v)$$

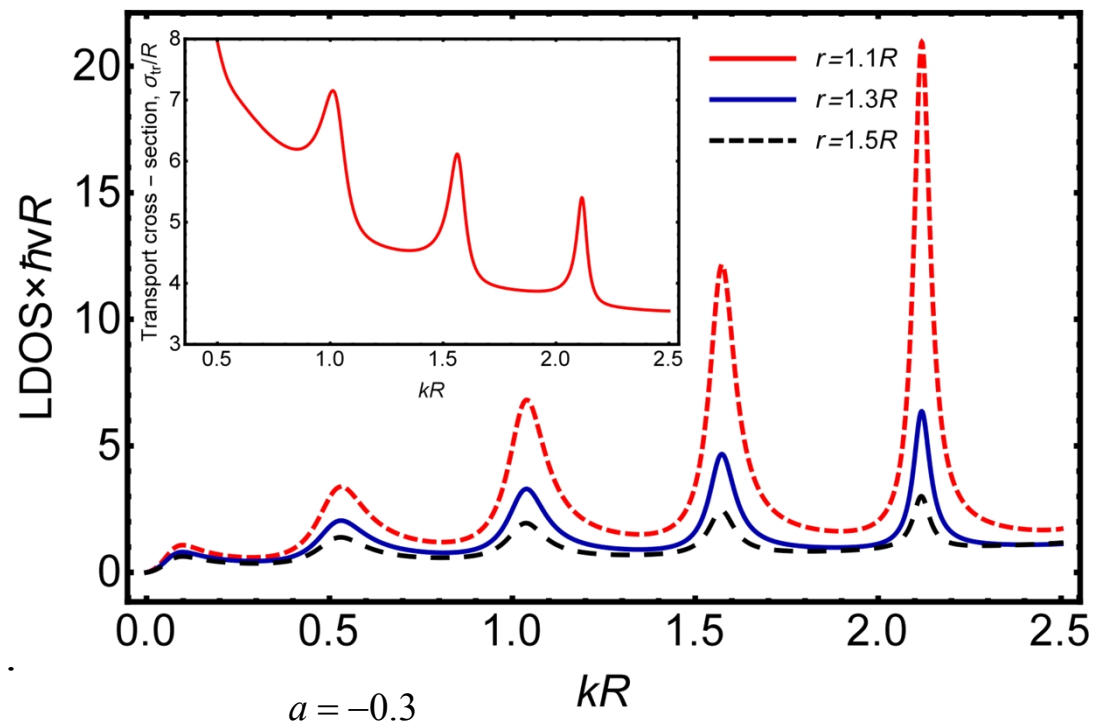
$k < k_0, \quad r \sim R :$

$$\rho(k, r) \approx \rho_{free}(k) \left(1 + \frac{R^2}{2a^2 r^2} \right)$$

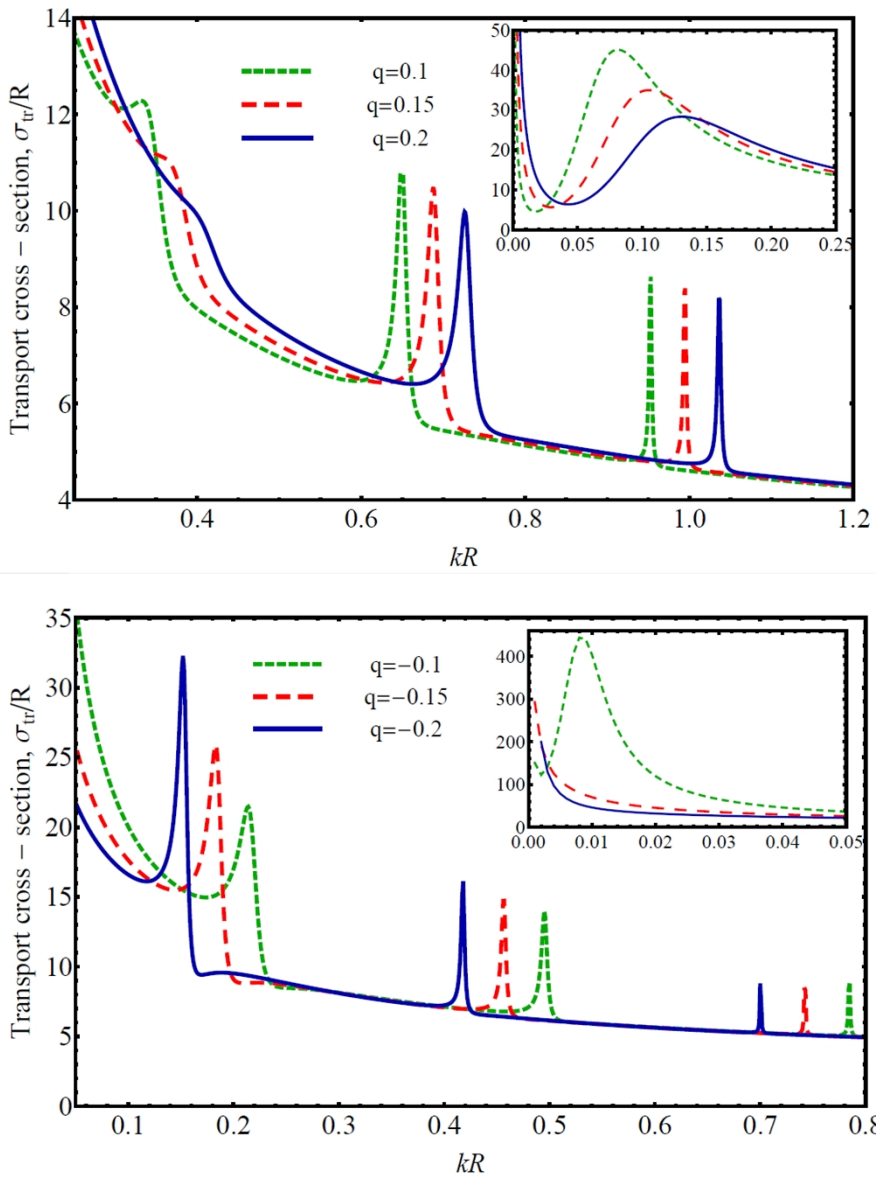
$$k \approx k_0 : \quad \rho(k_0, r) \approx \frac{4}{\pi^3 \hbar v k_0 r^2}$$

$$kR \approx 2 |a| l_0 \ll 1$$

$$\rho(k, r) \approx \frac{2}{\pi^3 \hbar v R} \frac{(l_0!)^2}{(|a| l_0)^{2l_0+1}} \left(\frac{R}{r} \right)^{2l_0+2}.$$



Заряженная антиточка



$$q = \frac{eQ}{\hbar v_F}$$

Q – заряд антиточки

Спектр в
низкоэнергетическом
приближении

$$kR \simeq -2al + \frac{l}{l+1/2}q + \\ + i \frac{|\Gamma(l+1/2-iq)|^2}{8l\Gamma^2(2l)} e^{-\pi q} \left(-4al + \frac{2l}{l+1/2}q \right)^{2l+1}.$$

$$kR \simeq k_0 R - \frac{q}{1 + a/k_0 R}, \quad l = 0$$

Основные новые результаты

- *Рассеяние электронов на графеновой антиточке содержащей краевые состояния носит резонансный характер, так же как и локальная плотность состояний вблизи нее.*
- *Положение и параметры резонансов определяются параметрами краевых состояний.*
- *Амплитуда рассеяния вблизи резонансов долинно асимметрична, что должно приводить к резонансному долинному эффекту Холла.*

Спасибо за внимание!